

## تصميم عدسات كهروستاتيكية أحادية الجهد تعمل تحت نمط التكبير الصفري

## Design of Unipotential Electrostatic Lenses Operated Under zero Magnification

بلال خالد جاسم ، احمد كمال احمد و عبد الجبار محمد

جامعة النهريين، كلية العلوم ، قسم الفيزياء.

## الخلاصة

يقدم البحث دراسة نظرية في مجال بصريات الجسيمات المشحونة ويتركز حول إيجاد التصميم الأمثل لعدسة كهروستاتيكية أحادية الجهد لتبني حزم الجسيمات المشحونة والتي تعمل تحت ظروف التكبير الصفري، حيث استخدمت الطريقة العكسية في تصميم العدسة الكهروستاتيكية. مثل الجهد الكهروستاتيكي المحوري من خلال اقتراح دالة قطع زائد لتمثيله، ومن معرفة المشتقة الأولى والثانية للجهد المحوري تم حل معادلة الشعاع المحوري للحصول على مسار الجسيمات المشحونة الذي يحقق دالة الجهد المفروضة لحساب الخصائص البصرية مثل الزيغ الكروي واللوني والبعد البؤري ومن ثم الحصول على شكل القطب للعدسة الكهروستاتيكية من خلال حل معادلة لابلاس. وقد بينت نتائج البحث قيم صغيرة للزيغ الكروي واللوني. ونتائج الخصائص البصرية والاقطاب المصممة للعدسة الكهروستاتيكية جيدة.

## المقدمة

يعتبر علم البصريات الإلكترونية أحد فروع الفيزياء التي تتعامل مع حركة الجسيمات المشحونة في المجال الكهربائي و المغناطيسي<sup>[1]</sup>. ويمكن القول بأن أي مجال كهروستاتيكي متمثل محوريا تمثل عدسة كهروستاتيكية حيث إن المجال الكهروستاتيكي ينتج بواسطة نظام من الأقطاب وان لكل قطب جهد ملائم و بذلك تكون العدسة نظاما ذات أقطاب متمثلة محوريا<sup>[2]</sup>. وتكمن أهمية العدسات الكهروستاتيكية في كونها تدخل في العديد من مجالات العلوم

التطبيقية وفي تكنولوجيا الصناعات المتطورة مثل صناعة أجهزة الغرس الأيوني التي تعد واحدة من التكنولوجيا التي تدخل في تصنيع شبه موصل ذو مواصفات متعدد الاستعمالات<sup>[3]</sup>. تعتبر العدسات الكهروستاتيكية أحادية الجهد و التي صمم أحد أنواعها في هذا البحث من العدسات المهمة في تطبيقات البصريات الإلكترونية التي تمتاز بأنها تمتلك نفس الجهد في جانبي الجسم و الصورة بحيث تبقى طاقة الجسيمات المشحونة ثابتة.

## النظرية

لتمثيل توزيع الجهد المحوري تم اقتراح دالة قطع زائد لتمثل الجهد المحوري لعدسة أحادية الجهد وهي كما يأتي:

$$U(z) = a * \sec h(z - b) + c \dots\dots\dots (1)$$

حيث أن  $Z$  هو المحور البصري للعدسة وان  $a, b, c$  هي معاملات يمكن من خلالها ان التحكم بشكل العدسة وتناظرها وقيمته الجهد الداخل الى العدسة. يمكن ان تكون العدسة الكهروستاتيكية عدسة مبطنة أو معجلة لذلك سنقتصر على حالة واحدة وهي عندما تكون العدسة معجلة. وللحصول على الصفات البصرية الجيدة للعدسة تم حل معادلة الشعاع المحوري (Paraxial-ray equation) الآتية<sup>[4]</sup>:

$$\frac{d^2 r}{dz^2} + \frac{U'(z)}{2U(z)} \frac{dr}{dz} + \frac{U''(z)}{4U(z)} r = 0 \dots\dots\dots (2)$$

تمثل هذه المعادلة وصفا للجسيمات المشحونة في المجال الكهروستاتيكي المتمثل دورانيا وهي معادلة تفاضلية متجانسة خطية من الدرجة الثانية، والتي يمكن استعمالها لكل أنواع الجسيمات المشحونة لعدم احتوائها على نسبة

حيث إن  $\alpha$  تمثل نصف زاوية القبول (half acceptance angle) و  $\Delta U/U$  التغير النسبي لطاقة حزمة الإلكترونات المنتشرة إن حساب أشكال الأقطاب للعدسة الإلكترونية اعتمادا على توزيع الجهد والذي يكون دالة إلى قيمة الموقع بالنسبة للمحور البصري. ويتم ذلك باستخدام الحل التسلسلي لمعادلة لابلاس الآتية<sup>[9]</sup>:

$$U(r, z) = U(z) - \frac{r^2}{4} U''(z) \dots\dots\dots (8)$$

### النتائج والمناقشة

الشكل (1) يمثل توزيع الجهد المحوري  $U(z)$  وتوزيع المجال الكهروستاتيكي المحوري  $E(z)$  لعدسة أحادية الجهد ومن الواضح إن توزيع المجال المحوري يمتلك نقطتي انقلاب عندما يصل المجال المحوري إلى قيمته العظمى الموجبة والسالبة وإن نقطتي الانقلاب تدل على أن العدسة تتكون من ثلاث أقطاب، كذلك فإن توزيع الجهد يمتلك قمة واحدة وذلك بالاعتماد على فولتية القطب المركزي ويمكن ملاحظه ان الجهد المحوري متساوٍ في جانبي الجسم والصورة أي إن  $U(z_i) = U(z_o)$  كما ان المجال المحوري يساوي صفراً عند هاتين النقطتين أي  $E(z_i) = E(z_o) = 0$  هذا يدل ان توزيع الجهد لعدسة أحادية الجهد  $U(z)$  وكما موضح من الشكل (1) وتوزيع المجال المحوري  $E(z)$  متماثل (Symmetrical) حول محور التناظر  $(Z)$ . ان تغير معامل الزيغ الكروي نسبة الى البعد البؤري في جانب الصورة لنمط التكبير الصغري  $C_s/f_i$  عند قيم مختلفة لـ (a) كداله الى نسبه الجهد  $U_o/U_i$  نلاحظ ان افضل قيم تم الحصول عليها عند  $a=50$  موضحة في الشكل (2) نلاحظ ان  $C_s/f_i$  يقل بزيادة  $U_o/U_i$  حتى يصل إلى اقل قيمه له وهي (2.3) عند نسبه الجهد (7.5). وعند مقارنة هذه النتيجة مع خصائص نموذج اخر يمثل توزيع الجهد المحوري يمثل بواسطة دالة متعددة الحدود تعطي نفس شكل الجهد والمجال المحوري لعدسة احادية الجهد والدالة هي  $U(z) = S - \frac{S-g}{50} Z^2 + \frac{S-g}{10000} Z^4$  كما موضح في الشكل (3) نجد ان نتائج  $C_s/f_i$  في نموذج دالة القطع الزائد افضل من نتائج دالة متعددة الحدود.

شحنة الجسيمة إلى كتلتها  $(e/m)$ ، وهذا يعني إن الجسيمات ذات الشحنات المختلفة تنبر في نفس النقطة ولكنها تصل في أوقات مختلفة<sup>[5]</sup>. كذلك تمتاز المعادلة (2) بأنها متجانسة بالنسبة للجهد  $U$  لذلك فإن زيادة الجهد أو نقصانه في كل نقاط المجال سوف لن يغير من المسار وتكون هذه المعادلة متجانسة بالنسبة إلى  $r$  و  $z$  وهذا يعني إن أي زيادة في أبعاد النظام ينتج عنها زيادة في أبعاد المسار أي إن شكل المعادلة لا يتغير<sup>[6]</sup>، في حاله عدم وجود شحنة الفراغ والحاله غير النسبية يتم حساب الخواص البصرية للعدسة بعد حل معادلة الشعاع المحوري باستخدام طريقة رانج - كوتا (Range-Kutta) من الدرجة الرابعة ومعرفة توزيع الجهد المحوري ومشتقاتيه الأولى والثانية. ولإيجاد قيمة معاملي الزيغ الكروي  $C_s$  واللوني  $C_c$  تم استخدام المعادلات الآتية<sup>[7]</sup>:

$$C_{s0} = \frac{U^{-1/2}}{16r_o'^4} \int_{z_o}^{z_i} \left\{ \left[ \frac{5}{4} \left( \frac{U''(z)}{U(z)} \right)^2 + \frac{5}{24} \left( \frac{U'(z)}{U(z)} \right)^4 \right] r^4(z) + \frac{14}{3} \left( \frac{U'(z)}{U(z)} \right)^3 r'(z) r^3(z) - \frac{3}{2} \left( \frac{U'(z)}{U(z)} \right)^2 r'^2(z) r^2(z) \right\} U^{1/2}(z) dz \dots\dots\dots (3)$$

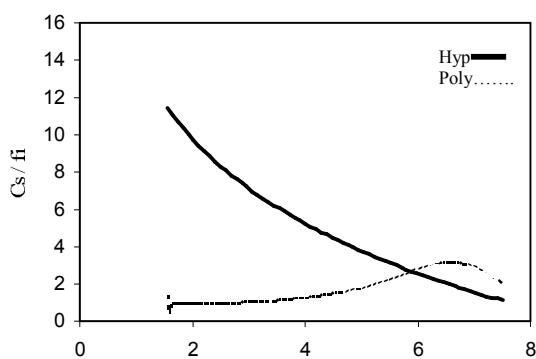
$$C_{c0} = \frac{U^{1/2}(z_o)}{r_o'^2} \int_{z_o}^{z_i} \left[ \frac{1}{2} \frac{U'(z)}{U(z)} r'(z) r(z) + \frac{U''(z)}{4U(z)} r^2 \right] U^{-1/2}(z) dz \dots\dots\dots (4)$$

حيث إن  $C_{s0}$  و  $C_{c0}$  يمثلان معاملي الزيغ الكروي واللوني للجسم على التوالي. ولحساب معاملي الزيغ الكروي واللوني للصورة  $C_{si}$  و  $C_{ci}$  على التوالي يمكن استخدام العلاقتين السابقتين وذلك باستبدال  $r_o'^2, U^{1/2}(z_o)$  و  $r_i'^2, U^{1/2}(z_i)$  وعلى الترتيب. وبحسب نصف قطر قرص الزيغ الكروي  $d_s$  ونصف قطر قرص الزيغ اللوني  $d_c$  والكلبي  $d_t$  باستخدام المعادلات التالية<sup>[8]</sup>:

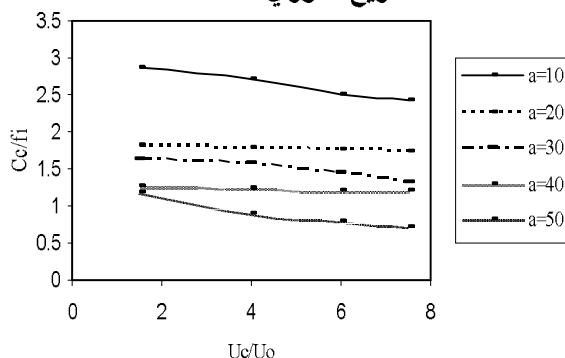
$$d_s = C_s \alpha^3 \dots\dots\dots (5)$$

$$d_c = C_c \alpha \Delta U/U \dots\dots\dots (6)$$

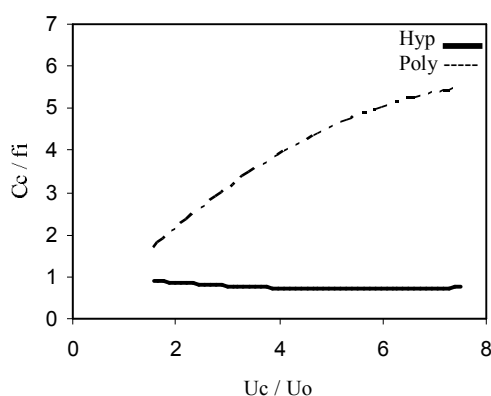
$$d_t^2 = d_s^2 + d_c^2 \dots\dots\dots (7)$$



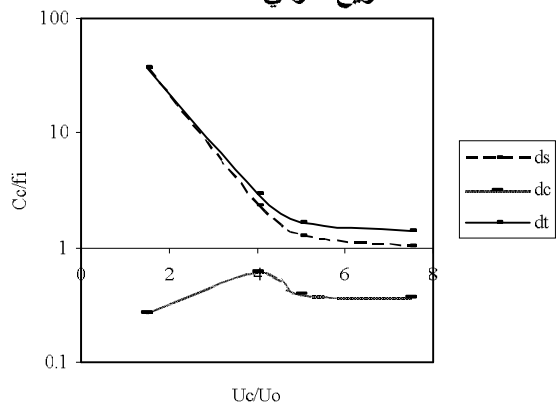
الشكل (3) يمثل العلاقة بين نسبة الجهد  $U_c/U_0$  ومعامل الزيغ الكروي  $Cs/f_i$ .



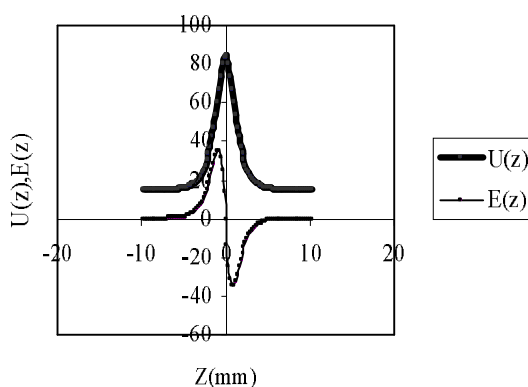
الشكل (4) يمثل العلاقة بين نسبة الجهد  $U_c/U_0$  مع معامل الزيغ اللوني  $Cc/f_i$  عند قيم مختلفة لـ  $a$ .



الشكل (5) يمثل العلاقة بين نسبة الجهد  $U_c/U_0$  ومعامل الزيغ اللوني  $Cc/f_i$ .

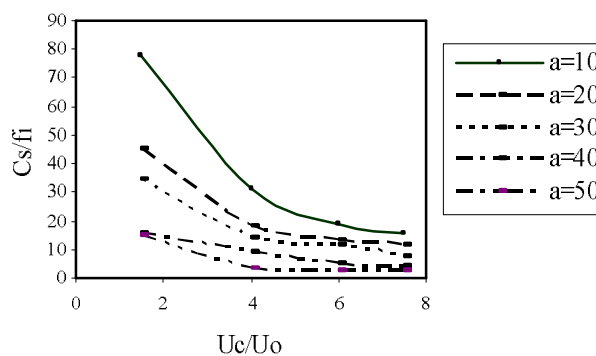


الشكل (6) يمثل تغير  $ds$ ,  $dc$ ,  $dt$  مع نسبة الجهد لعدسة احادية الجهد.



الشكل (1) يمثل توزيع الجهد المحوري  $U(z)$  وتوزيع المجال المحوري  $E(z)$  لعدسة احادية الجهد عند نمط التكبير الصفري.

الشكل (4) يوضح تغير معامل الزيغ اللوني نسبة الى البعد البؤري في جانب الصورة  $Cc/f_i$  عند قيم مختلفة لـ  $a$  كدالة الى نسبة الجهد نلاحظ ان افضل قيمة لـ  $Cc/f_i$  عندما  $a=50$  نلاحظ ان  $Cc/f_i$  يقل بازياد  $U_c/U_0$  حتى يبلغ اقل قيمه عند نسبة الجهد (7.5) هي (0.7). عند مقارنة هذه النتيجة مع نتائج الزيغ اللوني لنموذج دالة متعددة الحدود نجد ان نموذج الدالة ذات القمع الزائد افضل بكثير من نموذج دالة متعددة الحدود هذا يدا على افضلية النموذج المقترح في هذا البحث. تم حساب نصف قطر قرصي الزيغ الكروي واللوني والكلبي  $d_t$ ,  $d_c$ ,  $d_s$  على الترتيب وقد رسمت كدالة الى نسبة الجهد  $U_c/U_0$  عندما  $\alpha=4\text{mrad}$  و  $\Delta U/U = 1/3 * 10^3$  التي أخذت بالاعتماد على المصدر [9] كما في الشكل (3). ويلاحظ من الشكل (6) أن المنحنين  $d_s$ ,  $d_t$  متقاربان وهذا يعني ان قرص الزيغ الكروي هو الغالب وذلك لان الزيغ الكروي هو اكبر من الزيغ اللوني.



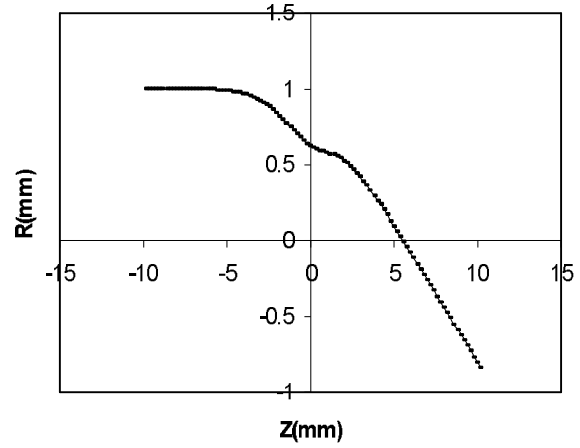
الشكل (2) يمثل العلاقة بين نسبة الجهد  $U_c/U_0$  مع معامل الزيغ الكروي  $Cs/f_i$  عند قيم مختلفة لـ  $a$ .

1. عند استخدام نموذج دوال القطع الزائد ومقارنتها مع نموذج اخر مثل دالة متعددة الحدود لاحظنا ان نموذج الدوال الزائديه له نتائج جيدة وعدسة جيدة الخواص البصرية.
2. من النتائج نستنتج ان اقل قيمة للزيغ الكروي Cs/fi والزيغ اللوني Cc/fi هي (2.7) و (0.7) على التوالي عند نموذج دالة القطع الزائد عند نسبة جهد (7.5).
3. من خلال النتائج يتبين بالامكان الحصول على افضل قيم للزيوغ الكروي واللوني باستخدام نموذج دالة القطع الزائد عند مقارنتها مع نتائج نموذج دالة متعددة الحدود عند اعلى نسبة جهد وهي (7.5).
4. نلاحظ ان نصف قطر الزيغ الكروي ds يقل بزيادة نسبة الجهد بينما يزداد نصف قطر الزيغ اللوني dc كلما زادت نسبة الجهد ولكن عند نسبة جهد 4.6 يبدأ بالنقصان بشكل قليل بينما الزيغ الكلي dt يقل بزيادة نسبة الجهد.

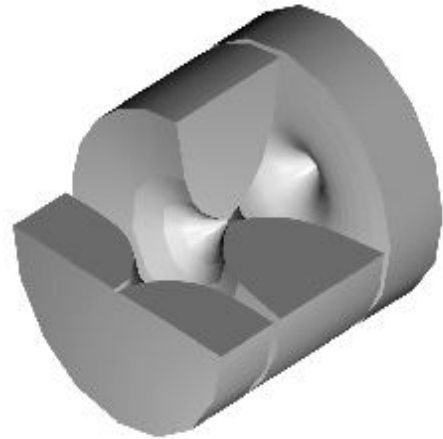
#### المصادر

- [1] A. Zhigararev., "Electron optics and electron – beam devices", Mir publisher, Moscow, (1975).
- [2] P.W. Hawkes and A. ed. Septier., "Lens aberration Focusing of charged particles", Academic press, New York, 1967.
- [3] F.A.J. Al- moudarris and S. M. Juma and A. K. Ahmed, "Design Of a Multi-Electrode Immersion Lens for Ion-Optical Systems", Iraqi J. of Appl.Phys, Vol.2, No.1-2, 2006, PP.27-30
- [4] B. H. Ahmed and A. K. Ahmed and S. M. Juma, "Some Optical Properties Of an Electrostatic Immersion Lens Using the Charge Density Method", Iraqi J. of Appl. Phys, Vol.1, No.3, 2005, PP.21-27.
- [5] A. B. El-Kareh and J. C. J. El-Kareh, "Electron beam, lenses and optics", Academic Press, New York and London. 1970.
- [6] B. Paskowski, "Electron optics", Iliffe Books, London, 1968.
- [7] L. Kiss, "Computerized investigation of electrostatic lens potential distribution",

الصفري والذي يتم حسابه من خلال معادلة الشعاع المحوري. تم اختيار شكل الأقطاب للعدسة أحادية الجهد باستخدام المعادلة (8) كما مبين في الشكل (8) الذي يمثل العدسة أحادية الجهد ثلاثية الأبعاد تعمل تحت ظرف التكبير الصفري عند  $U_c/U_0=4.5$ . أن الأقطاب الخارجية (الأول والثالث) هي أقطاب متماثلة او متناظرة وكل منها يملك الجهد نفسه أما القطب المركزي فانه يملك شكلا وجهدا مختلفين.



الشكل (7) يمثل مسار الجسيمات المشحونة لعدسة احادية الجهد عند التكبير الصفري.



الشكل (8) يمثل شكل الاقطاب بثلاثة ابعاد لعدسة احادية الجهد عند نمط التكبير الصفري.

#### الأستنتاجات

إن النسبة بين جهد القطب المركزي وجهد القطب في جانب الجسم او الصورة هي التي تحدد ظروف عمل العدسة فكلما كانت النسبة اكبر كلما كانت معاملات الزيوغ اقل.

- 12<sup>th</sup> IMACS world congress, ed. R. Vicheretsky, Paris. 1988
- [8] G. F. Rempfer and M.S. Fyfield. and O. H. Griffith, Lenses for electron microscopy and micro analysis : Shadowgraph method of determining focal properties and aberration coefficients”, Microsc, Microanal, 4, 34-49. 1998 [9] H.Ohiwa and R.J. Blackwell and B.M, Siegel,” Design of an electrostatic ion optical system for microfabrication with 100 A resolution “, J.vac.sc.techno, Vol.19, No.,1981, PP1074-1076.

**Abstract:**

The present research, a theoretical study in the field of charge particles optics .Which concentrated about the design of electrostatic potential lens for focused charge particles beams, and operated under zero magnification and by using inverse method in designing the electrostatic lens .The axial electrostatic potential is represented by suggesting a hyperbolic function. The paraxial ray equation was solved to obtain the trajectory of the particles that satisfies the suggested potential function .The optical properties such as the spherical and chromatic aberrations and focal length in the image side were determined .The shape of the electrode of the electrostatic lens were determined by solving Laplace's equation and, the results of this study showed a small values of spherical and chromatic aberrations, which are considered as good criteria for good design.